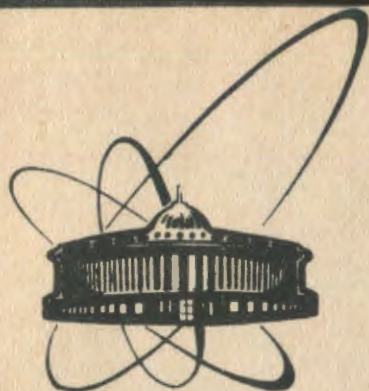


90-153



сообщения
Объединенного
института
ядерных
исследований
Дубна

A 62

P9-90-153

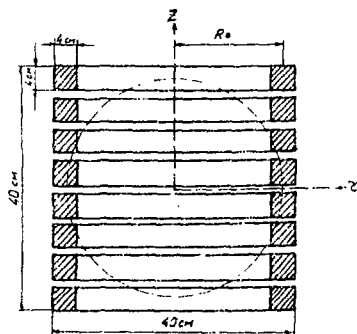
И. В. Амирханов, Е. П. Жидков, А. Н. Ильина*,
В. Д. Ильин*

ЧИСЛЕННОЕ ИССЛЕДОВАНИЕ ТРАЕКТОРИЙ
РЕЛЯТИВИСТСКИХ ЭЛЕКТРОНОВ
В МАГНИТНОМ ПОЛЕ
СВЕРХПРОВОДЯЩЕГО СОЛЕНоиДА

*Научно-исследовательский институт ядерной физики
МГУ, Москва

1990

Задача численного исследования траекторий релятивистских электронов в магнитном поле возникает в связи с возможностью использования сверхпроводящего соленоида в качестве спектрометра, разделяющего частицы по их энергиям, в экспериментах с искусственной магнитосферой^{1/}. Использование сверхпроводников значительно усиливает магнитные свойства соленоида и тем самым повышает его спектрометрические возможности. В частности, оказывается возможным измерение энергетического спектра релятивистских электронов с $E_{\max} \sim 10$ МэВ. Получение поля с помощью системы токов удобно в смысле регулирования величины и формы распределения магнитного поля. Выбор конфигурации тока связан с общей оптимизацией задачи, в которую входят вопросы конструирования и вычислений жесткостей обрезания /минимальных энергий частиц, при которых они могут достигнуть поверхности магнита/^{2/}. С точки зрения удобств определения жесткостей обрезания наиболее подходящей является катушка /соленоид/ сферической формы. При этом ток /число ампервитков/ в такой катушке должен быть неоднороден и подчиняться закону $I \sim \cos \theta$, где θ - полярное расстояние, начало координат находится в центре катушки, ось Z перпендикулярна плоскостям витков. В этом случае магнитное поле вне сферы всюду будет дипольным и, следовательно, вычисление жесткостей обрезания можно проводить общеизвестным аналитическим способом^{2/}. В нашем случае источником поля является осесимметричная кольцевая катушка /сверхпроводящий соленоид/ с дискретным распределением витков по Z . Размеры витков и их расположение в катушке показаны на рис.1.



Задача состоит в том, чтобы вычислить распределение поля и затем с помощью численного интегрирования уравнений движения найти жесткости обрезания.

Рис.1. Источник магнитного поля - сверхпроводящий /сечением 4×4 см/, свернутый в спираль /соленоид/. Соленоид представлен в виде отдельных витков, образующих цилиндр, у которого высота равна диаметру.

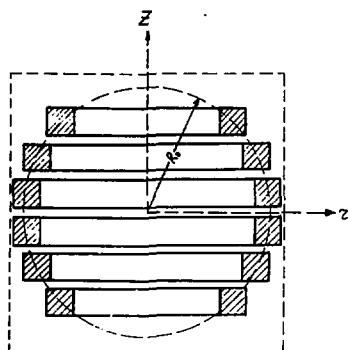


Рис.2. Переход от цилиндрической формы источника магнитного поля /рис.1/ к сферической.

Для сравнения будет показано поле сферической катушки, которая получается из исходной цилиндрической путем соответствующего уменьшения диаметра витков /см. рис.2/. Ток в витках в этом случае предполагается пропорциональным $\cos \theta$.

ПОЛЕ ЦИЛИНДРИЧЕСКОЙ КАТУШКИ С ДИСКРЕТНЫМ РАСПРЕДЕЛЕНИЕМ ТОКА

Распределение магнитного поля катушки, показанной на рис.1, может быть найдено из соответствующих выражений для тонкого кольцевого витка с помощью интегрирования по r и Z . Методы расчета магнитного поля, создаваемого токами, описаны во многих работах /см., например, /3, 4/. Для кругового тока магнитное поле использовалось в виде

$$H_z = \frac{0,2I}{\sqrt{(r+R_0)^2 + Z^2}} \left[K(k_0) + \frac{R_0^2 - r^2 - Z^2}{(R_0 - r)^2 + Z^2} E(k_0) \right], \quad /1/$$

$$H_r = \frac{0,2IZ}{r \sqrt{(r+R_0)^2 + Z^2}} \left[-K(k_0) + \frac{R_0^2 + r^2 + Z^2}{(R_0 - r)^2 + Z^2} E(k_0) \right], \quad /2/$$

где H - поле в Эрстедах, I - ток в амперах, R_0 - радиус витка в см, $K(k_0)$, $E(k_0)$ - полные эллиптические интегралы первого и второго рода с модулем k_0 ,

$$k_0 = 4rR_0 / [(r+R_0)^2 + Z^2],$$

значения $K(k_0)$ и $E(k_0)$ вычислялись по достаточно точным формулам /5/:

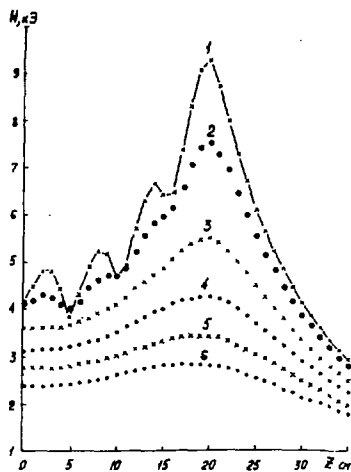


Рис. 3. Зависимость напряженности H магнитного поля соленоида /рис. 1/ от z и r : 1 - $r = 21$ см; 2 - $r = 22$ см; 3 - $r = 24$ см; 4 - $r = 26$ см; 5 - $r = 28$ см; 6 - $r = 30$ см.

$$K(k_0) = 1,3883 + 0,112 \xi + 0,0725 \xi^2 - (0,5 + 0,1213 \xi + 0,0289 \xi^2) \ln \xi;$$

$$E(k_0) = 1,0 + 0,463 \xi + 0,1078 \xi^2 - (0,2453 \xi + 0,0412 \xi^2) \ln \xi;$$

$$\text{где } \xi = 1 - k_0^2.$$

Поле реального витка с током находилось путем простого алгебраического суммирования полей отдельных "элементарных витков" /тонких кольцевых витков/ для различных значений R_0 . При этом предполагалось, что

плотность тока в реальном витке однородна. Расчеты показывают, что уже при числе "элементарных витков", равном $10 \times 10 / 10$ витков по горизонтали и 10 - по вертикали, результаты оказываются практически предельными.

Расчетные распределения H_z и H_r для всей катушки представлены на рис. 3. Все вычисления проводились на ЭВМ СДС-6500. Значения функции $H(r, z)$ вычислены для катушки с током, имеющей магнитный момент $M = 10^5 \text{ А} \cdot \text{м}^2 = 10^8 \text{ Э} \cdot \text{см}^3$. Если учесть, что эффективный радиус витка $R_0 = 18 \text{ см}$ /рис. 1/, то это дает ток в катушке $-1,23 \cdot 10^5 \text{ А}$. Как видно из рис. 3, поле катушки существенно отличается от поля диполя на расстояниях $\leq 60 \text{ см}$. В медианной /экваториальной/ плоскости это различие можно определить из формулы

$$H_k / H_g = 1 - 1,985 \exp(-1,13 \xi),$$

$$\xi = r/20, \quad r \geq 20 \text{ см},$$

/3/

где H_k - поле катушки, H_g - поле эквивалентного диполя. Погрешность формулы /3/ не превышает 1,5%. При $r > 3R_0$ поле H_k становится практически дипольным. Силовые линии и направление поля в некоторых точках показаны на рис. 4 и 5.

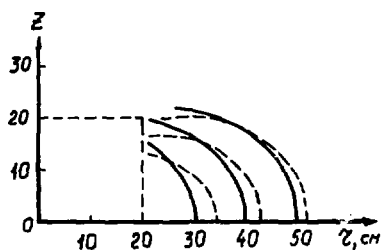
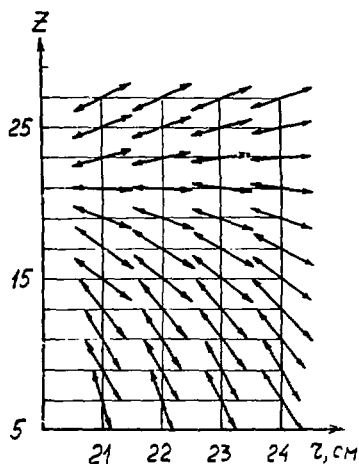


Рис.4. Силовые линии соленоида /сплошные кривые/ и эквивалентного диполя /пунктирные кривые/.

Рис.5. Направление поля в области предполагаемого местонахождения детектора.



РАСЧЕТ ЖЕСТКОСТЕЙ ОБРЕЗАНИЯ ЭЛЕКТРОНОВ В ПОЛЕ КАТУШКИ

В сущности, речь идет об определении наименьшей энергии электрона E_{\min} , при которой он мог бы достичь заданной точки. Наибольший интерес, естественно, представляет область вблизи катушки, где поле максимально и сильно отличается от дипольного. Решение такой задачи возможно только с помощью численного интегрирования уравнений движения частицы.

Движение частицы в магнитном поле описывалось системой уравнений

$$\ddot{x} = a [v_y H_z - v_z H_y],$$

$$\ddot{y} = a [v_z H_x - v_x H_z],$$

$$\ddot{z} = a [v_x H_y - v_y H_x],$$

с начальными условиями

$$\begin{pmatrix} x(t) \\ y(t) \\ z(t) \\ \dot{x}(t) \\ \dot{y}(t) \\ \dot{z}(t) \end{pmatrix}_{t=0} = \begin{pmatrix} x_0 \\ 0 \\ z_0 \\ v_{0x}(a, \phi) \\ v_{0y}(a, \phi) \\ v_{0z}(a, \phi) \end{pmatrix}, \quad (15)$$

где $a = e\sigma/E$, e - заряд электрона, E - его полная энергия, c - скорость света, $H_x = H_r x/r'$, $H_y = yH_r/r'$, $r' = \sqrt{x^2 + y^2 + z^2}$, v_0 - модуль вектора скорости, α - питч-угол - угол между векторами \vec{v} и \vec{H} , ϕ - фаза частицы - угол между меридиональной плоскостью, в которой находится частица, и v_{\perp} /перпендикулярной компонентой вектора скорости к полю \vec{H} /, отсчитываемый по ларморовскому вращению электрона. В системе координат, связанной с частицей и имеющей орты

$$\vec{e}_1 = \frac{[\vec{r}'\vec{H}]}{|\vec{r}'\vec{H}|}, \quad \vec{e}_2 = [\vec{e}_3\vec{e}_1], \quad \vec{e}_3 = \frac{\vec{H}}{|\vec{H}|},$$

вектор скорости имеет вид

$$\vec{v} = v_{\parallel} \vec{e}_3 + v_{\perp} (\vec{e}_1 \sin \phi + \vec{e}_2 \cos \phi),$$

$$v_{\parallel} = (\vec{v}\vec{e}_3) = v_0 \cos \alpha, \quad v_{\perp} = v_0 \sin \alpha.$$

Численные расчеты задачи Коши /4/ и /5/ проводились методом Рунге - Кутты 4-го порядка. Жесткости образования находились путем "обратного" интегрирования системы /4/ от точек, соответствующих предполагаемым расположениям детекторов. В качестве таковых брались точки с координатами $x_0 \geq 21$ см; $0 \leq z_0 \leq 30$ см. В силу аксиальной симметрии задачи координата y_0 полагалась равной нулю. Критерием того, что частица, двигаясь из "бесконечности", способна достичь заданной точки вблизи катушки, являлся уход частицы при "обратном" интегрировании на расстояние $r > 10^3$ см.

Для обеспечения наименьших затрат машинного времени полезен следующий алгоритм использования компонент поля \vec{H} в уравнениях /4/. На основе итогов расчета поля по формулам /1/ и /2/ составляется таблица значений $\vec{H}(r, z)$ с некоторым шагом /например, в 1 см/ до $r = 60$ см. Промежуточные значения $\vec{H}(r, z)$ находятся с помощью линейного интерполирования. При $r \geq 60$ см поле $\vec{H}(r, z)$ описывается простыми общеизвестными формулами для поля магнитного диполя.

Некоторые значения функции $E_{\min}(x_0, z_0, \alpha, \phi)$, найденные с помощью численного интегрирования системы дифференциальных уравнений /4/, представлены в таблице. Для сравнения в таблице приведены данные для поля диполя с тем же магнитным моментом M . Для диполя аналитическое выражение для жесткости образования можно, исходя из /2/, представить в виде

Таблица

 $x_0 = 21 \text{ см}$

| $z, \text{ см}$ | ϕ° | α° | $E_{\min}, \text{ МэВ}$ | |
|-----------------|--------------|----------------|-------------------------|--------|
| 2 | 0 | 80 | ~10-11 | /16/ |
| | | 60 | ~10-11 | /16/ |
| | 90 | 80 | ~27-28 | /48/ |
| | | 60 | ~24-25 | /34,2/ |
| | 270 | 80 | ~5-10 | /11/ |
| | | 60 | ~5-10 | /11,4/ |
| 6 | 0 | 80 | ~10 | /12,9/ |
| | | 60 | ~10 | /12,9/ |
| | 90 | 80 | ~25 | /28,9/ |
| | | 60 | ~25 | /24/ |
| 18 | 0 | 80 | ~4 | /2,8/ |
| 24 | 0 | 80 | <3 | /0,97/ |
| | | 60 | <3 | /0,97/ |
| | 90 | 80 | <3 | /1,19/ |
| | | 60 | <3 | /1,16/ |

 $x_0 = 24 \text{ см}$

| | | | | |
|---|-----|----|--------|--------|
| 2 | 0 | | ~5-10 | /12,3/ |
| | 90 | 80 | ~20-25 | /37,5/ |
| | 270 | | ~5 | /8,3/ |

В скобках приведены значения E_{\min} для эквивалентного диполя, вычисленные по формуле /6/.

$$R_{\text{мс}} = \frac{pc}{e} = \frac{3 \cdot 10^{-4} \text{ М}}{r'^2} \frac{\cos^4 \lambda}{(1 + \sqrt{1 - \sin \alpha \sin \phi \cos^3 \lambda})^2} \text{ МВ, /6/}$$

где pc измеряется в МэВ, $M = 3 \cdot \text{см}^3$, r' - см, λ - широта / $\text{tg } \lambda = z_0/x_0$). Отсюда следует, что в дипольном поле для электронов

$$E_{\min} = \left[-0,511 + \sqrt{0,261 + (R_{\text{мс}e})^2} \right] \text{ МэВ} ,$$

где численное значение величины $R_{\text{мс}e}$ совпадает с $R_{\text{мс}}$, определяемым по формуле /6/ /1 МВ.е = 1 МэВ/. На экваторе для вертикально падающих электронов / $\lambda = 0$; $\alpha = \pi/2$; $\phi = 0$ / величина $R_{\text{мс}} = 7,5 \cdot 10^3 \text{ г}^{-2} \text{ МВ}$.

ПОЛЕ СФЕРИЧЕСКОЙ КАТУШКИ

Переход от цилиндрической конфигурации системы токов к сферической показан на рис.1 и 2. Вычисления поля, аналогичные с цилиндрической катушкой, показывают, что простое изменение диаметров витков и тока в них ($I \propto \cos\theta$) формирует практически дипольное распределение поля при $z \approx 24$ см. На расстоянии $r \approx 23$ см отличие от дипольности составляет примерно 10%. При этом магнитный момент M /абсолютное значение поля/ сферической катушки естественно меньше цилиндрической из-за уменьшения суммарной площади витков и падения тока к полюсам. Величины M /рис.1 и 2/ отличаются приблизительно в 2 раза. Поднять величину M для сферической катушки можно за счет увеличения числа витков /ампер-витков/.

ВЫВОДЫ И ОБСУЖДЕНИЕ РЕЗУЛЬТАТОВ

Зависимость E_{\min} от ϕ , α и λ при малых $r/r \approx 21$ см/ качественно описывается формулой /6/. Численное расхождение может быть в 1,5 раза. Поскольку поле H вблизи соленоида сильно изрезано /см. рис.3, кривая 1/, то для большей предсказуемости предпочтительнее ставить детекторы на $r \approx 22$ см. При малых z величина E_{\min} может изменяться в несколько раз в зависимости от угла падения частицы. Поэтому для измерения энергетического спектра частиц целесообразно использовать не только зависимость E_{\min} от расстояния, но и от ориентации конуса приема релятивистских электронов. В общем случае величина E_{\min} не является однозначной функцией от ϕ , α , r' . Например, электроны с энергиями 28, 27, 26, 25, 21 МэВ /инжектируемые с начальными данными: $r = 21$ см, $z = 2$ см, $\alpha = 40^\circ$ и $\phi = 90^\circ$ / "уходят на бесконечность", а с энергиями 29, 24, 23, 22, 20 МэВ попадают на тело соленоида. Это напоминает пенумбру /конус полутени/ /2/.

ЛИТЕРАТУРА

1. Физика космической и лабораторной плазмы. Сб. под ред. Пономаренко А.Г. Новосибирск: Наука, Сибирское отд. 1989, с.34, 65.
2. Дорман Л.И., Смирнов В.С., Тясто М.И. - Космические лучи в магнитном поле Земли. М.: Наука, 1971, с.399.
3. Монтгомери Д.Б. - Получение сильных магнитных полей с помощью соленоидов. М.: Мир, 1971, с.359.
4. Алиевский Б.Л., Орлов В.Л. - Расчет параметров магнитных полей осесимметричных катушек. М.: Энергоатомиздат, 1983.
5. Справочник по специальным функциям. Под ред. Абрамовица М. и Стиган И. М.: Наука, 1979, с.404.